

09;10  
©1992 г.

## СТАЦИОНАРНОЕ ДВУХПОТОЧНОЕ СОСТОЯНИЕ ТОНКОГО СЛОЯ РЕЛЯТИВИСТСКИХ ЭЛЕКТРОНОВ-ОСЦИЛЛЯТОРОВ В ОДНОРОДНОМ МАГНИТНОМ ПОЛЕ

*В.Л.Братман, А.В.Савилов*

Исследована зависимость конфигураций собственных полей и траекторий частиц от значений их скоростей в плоскости симметрии слоя и полной поверхностной плотности слоя. Найдена предельная плотность частиц и установлено наличие критической скорости  $\beta_c = 1/\sqrt{2}$ , при превышении которой эффекты диамагнетизма доминируют над кулоновским расталкиванием частиц.

Электронные слои с двухпоточным движением частиц встречаются в мазерах на циклотронном резонансе и в ряде приборов магнетронного типа. При формировании и использовании таких слоев важно знать предельную концентрацию электронов, при которой внешнее магнитное поле удерживает частицы от взаимного расталкивания. Этот вопрос неоднократно обсуждался в литературе как для слабoreлятивистских, так и для релятивистских энергий частиц (см., например, [1,2]).

В релятивистской ситуации расталкивание электронов частично компенсируется притяжением продольных токов, но в то же время удерживающее действие внешнего магнитного поля может существенно ослабляться диамагнетизмом слоя. В данной работе проведено детальное исследование этих эффектов применительно к плоским симметричным слоям релятивистских электронов, вращающихся в однородном магнитном поле.

Рассмотрим стационарный тонкий слой электронов-осцилляторов, совершающих колебательное движение во внешнем постоянном однородном магнитном поле  $H_0 z_0$  (рис. 1,а) и собственных стационарных электрическом и магнитном полях. Для простоты считаем, что слой однороден вдоль  $y$ - и  $z$ -направлений и все электроны движутся по одинаковым траекториям. В каждой точке слоя, кроме его границ, пересекаются траектории двух потоков, совершающих восходящее и нисходящее движения по оси  $x$ . На границе слоя, в точке поворота траекторий, электроны переходят из одного потока в другой. В стационарном состоянии концентрации электронов обоих потоков одинаковы в каждой точке и удовлетворяют уравнению непрерывности, так что суммарная концентрация может быть выражена через  $x$ -компоненту скорости одного (например, восходящего)

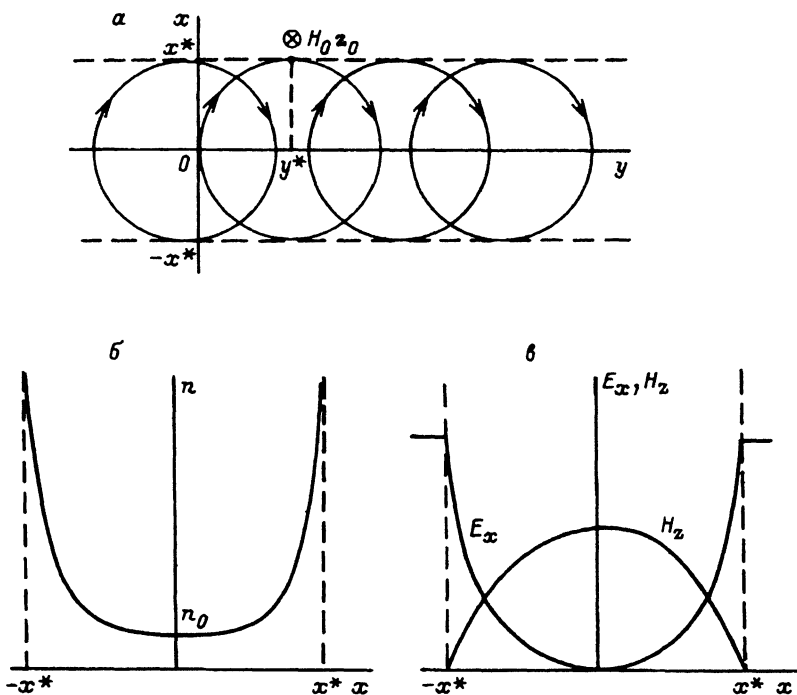


Рис. 1. Стационарное двухпоточное состояние тонкого слоя электронов-осцилляторов во внешнем магнитном поле.

*a* — траектории частиц при малой концентрации, *б* — распределение электронной концентрации, *в* — распределение собственных электрического и магнитного полей.

потока (рис. 1,б)

$$n(x) = n_0 v_0 / v_x(x), \quad (1)$$

где  $n_0$  и  $v_0$  — концентрация и скорость электронов в плоскости симметрии слоя  $x = 0$ .

Как и в нерелятивистском случае, из уравнения Пуассона электростатическое поле внутри слоя выражается через время  $t(x)$  пролета электрона от плоскости симметрии до сечения  $x$  (считаем  $x > 0$ ):

$$E_x(x) = -4\pi e n_0 v_0 t(x), \quad (2)$$

где  $(-e)$  — заряд электрона.

Вследствие равенства в каждой точке  $y$ -компонент скоростей электронов оба потока дают также одинаковый вклад в собственное магнитостатическое поле слоя  $H_z(x)$ , которое существует лишь внутри слоя и, согласно теореме о циркуляции и уравнению непрерывности, определяется смещением  $y(x)$ -частицы от ее положения в начальный момент  $t = 0$

$$H_z(x) = H_z(0) + 4\pi e n_0 v_0 y(x) / c, \quad (3)$$

где

$$H_z(0) = -4\pi e n_0 v_0 y^* / c \quad (4)$$

— собственное поле в плоскости симметрии,  $y^* = y(x^*)$  — смещение частицы в точке поворота  $x = x^*$  (рис. 1,в).

Зная собственные поля слоя, представим уравнения для импульса  $\mathbf{P}$  и энергии  $\mathcal{E}$  электрона в виде:

$$\begin{aligned}\frac{dp_x}{dt} &= 4\pi e^2 n_0 v_0 t - v_y \left( \frac{e}{c} H_s + \frac{4\pi e^2 n_0 v_0}{c^2} y \right), \\ \frac{dp_x}{dt} &= v_x \left( \frac{e}{c} H_s + \frac{4\pi e^2 n_0 v_0}{c^2} y \right), \\ \frac{d\mathcal{E}}{dt} &= 4\pi e^2 n_0 v_0 v_x t,\end{aligned}\quad (5)$$

где  $H_s = H_z(0) + H_0$ .

Наряду с очевидным условием конечности толщины слоя  $x^*$  в стационарном состоянии не обращается в нуль полное магнитное поле в плоскости симметрии  $H_s$  (см. Приложение). Считая  $H_s > 0$ , напишем систему (5) в следующем безразмерном виде:

$$\begin{aligned}\gamma \xi' &= \alpha_s \tau^2 / 2 - \eta - \alpha_s \beta^2 \eta^2 / 2 + 1, \\ (\gamma \eta') &= \xi' (1 + \alpha_s \beta^2 \eta), \quad \gamma' = \alpha_s \beta^2 \xi' \tau,\end{aligned}\quad (6)$$

где  $\xi = x/\tau_{H_s}$ ,  $\eta = y/\tau_{H_s}$ ,  $\tau = t\omega_{H_s}$ ,  $\gamma = [(1 - v_0^2/c^2)/(1 - v^2/c^2)]^{1/2}$ ,  $\omega_{H_s} = eH_s/mc$ ,  $\tau_{H_s} = v_0/\omega_{H_s}$ ,  $\beta = v_0/c$ ,  $\alpha_s = 4\pi mc^2 n_0/H_s^2$  — отношение плотности энергии электронов к плотности энергии магнитного поля в плоскости симметрии,  $m$  — релятивистская масса электрона в этой плоскости, штрихом обозначено дифференцирование по  $\tau$ .

Начальные условия к системе (6) имеют вид

$$\xi(0) = \eta(0) = \eta'(0) = 0, \quad \gamma(0) = \xi'(0) = 1. \quad (7)$$

В уравнения (6), (7) не входит в явном виде поле  $H_s$ , определяемое неизвестной  $y$ -координатой точки поворота, что облегчает их исследование.

Из второго и третьего уравнений системы (6) следует интеграл

$$1 + \alpha_s \beta^2 \eta = 1/\gamma + \alpha_s \beta^2 \tau \eta', \quad (8)$$

рассматривая который совместно с первым уравнением системы (6) в точке поворота, получаем уравнение для времени движения до точки поворота  $\tau^*$ , имеющее решение при условии

$$\alpha_s \leq \frac{1}{2(1 - \beta^2)}. \quad (9)$$

При  $\beta \rightarrow 0$  отсюда следует известное слабoreлятивистское условие существования стационарного состояния. В случае строгого равенства в (9) имеем

$$H_s/H_0 = (1 - \beta^2)/\gamma^*. \quad (10)$$

При этом  $x$ -компонента силы, действующей на электрон, на границе слоя обращается в нуль. Однако из решений системы (6), нормированной

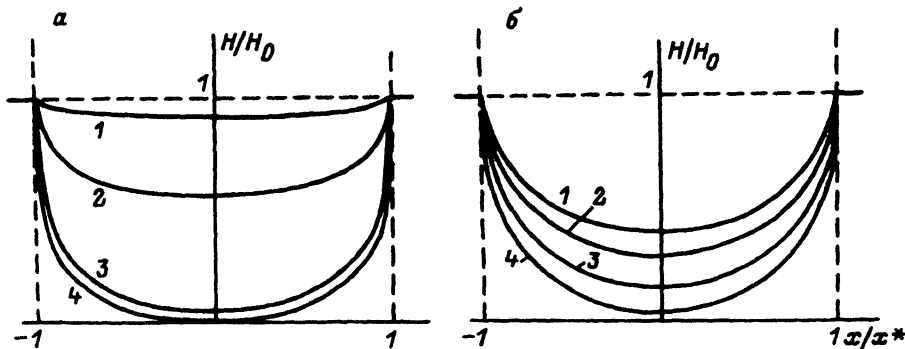


Рис. 2. Эволюция полного магнитного поля внутри слоя.

*a* — при изменении скоростей частиц в предельных состояниях (докритическая зона);  $\beta$ : 1 — 0.2, 2 — 0.5, 3 — 0.7, 4 —  $\beta_c$ ; *b* — при изменении концентрации частиц при приближении к предельному состоянию (закритическая зона);  $\alpha$ : 1 — 0.75, 2 — 0.85, 3 — 0.95, 4 — 0.99.

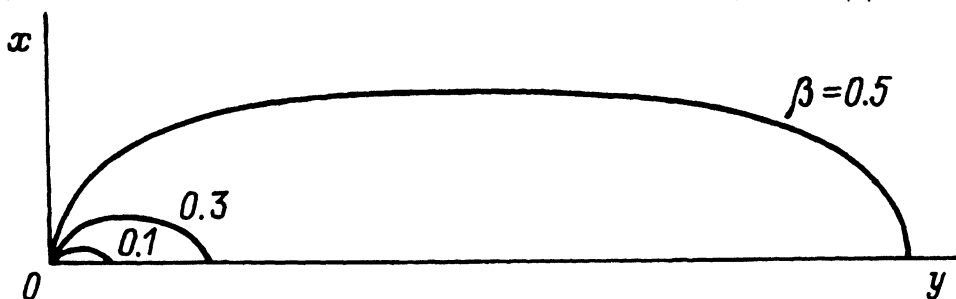


Рис. 3. Траектории частиц в предельных состояниях.

на  $H_s$ , следует исключить часть области параметров, где  $H_s$  обращается в нуль. Введем параметр

$$\alpha = \frac{4\pi n_0 \Pi_0 c^2}{H_0^2} = \frac{\alpha_s m_0 H_s^2}{m H_0^2}, \quad (11)$$

пропорциональный концентрации и не зависящий от поля  $H_s$  и скорости  $\beta$ . Здесь  $m_0$  — масса покоя электрона.

Из вида *a* ясно, что в предельном случае, определяемом равенством в (9), при стремлении  $H_s$  к нулю концентрация  $n_0$  также стремится к нулю. С другой стороны, сила кулоновского расталкивания, действующая на частицу вблизи плоскости симметрии, пропорциональна  $n_0$ , а  $x$ -компонента силы со стороны магнитного поля пропорциональна  $H_s^2$ . Следовательно, при стремлении  $H_s$  к нулю исчезает линейный по времени член  $x$ -компоненты силы вблизи плоскости  $x = 0$ . Из первого уравнения системы (6) в линейном приближении по малому  $\tau$  имеем  $(\gamma\xi')' = (1 - \alpha_s)\tau$ , откуда видно, что  $H_s$  стремится к нулю при  $\alpha_s \rightarrow 1$ . Окончательно получаем, что в стационарном состоянии

$$\alpha_s \leq \frac{1}{2(1 - \beta^2)}; \quad \beta < \beta_c, \quad \alpha_s < 1; \quad \beta > \beta_c, \quad (12)$$

где  $\beta_c = 1/\sqrt{2}$ .

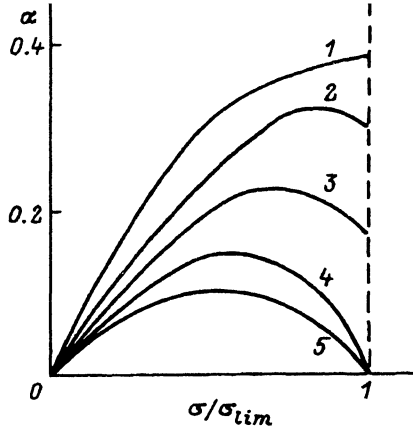


Рис. 4. Зависимость концентрации электронов в плоскости симметрии от полной поверхностной плотности слоя.

$\beta$ : 1 — 0.2, 2 — 0.3, 3 — 0.5, 4 —  $\beta_c$ , 5 — 0.8.

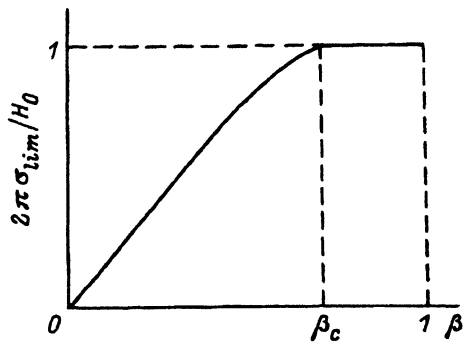


Рис. 5. Предельная поверхностная плотность слоя в зависимости от скорости частиц.

Если в докритической зоне ( $\beta < \beta_c$ ) основную роль в ограничении электронной плотности слоя играет кулоновское расталкивание, то в закритической ( $\beta > \beta_c$ ) предельное стационарное состояние определяется прежде всего диамагнетизмом системы. В этой зоне токи в слое настолько велики, что создаваемое ими магнитное поле в плоскости симметрии в предельном случае почти полностью компенсирует внешнее поле  $H_0$  (рис. 2). Сильный диамагнетизм существенным образом влияет на форму траекторий частиц. Действительно, при слабом результирующем магнитном поле вблизи плоскости симметрии электроны быстро преодолевают середину слоя и заворачиваются вблизи его границ. В результате траектории сильно вытягиваются вдоль оси  $y$  (рис. 3) и основную часть периода обращения частицы проводят вблизи границ слоя. Таким образом, из-за диамагнетизма происходит вытеснение электронов на края слоя, а в закритической зоне в предельном состоянии концентрация  $n_0$  стремится к нулю (рис. 4). Следовательно, более информативной характеристикой заполненности слоя является не объемная концентрация в плоскости симметрии  $n_0$ , а полная поверхностная плотность заряда слоя  $\alpha$ . Поскольку в предельном состоянии  $x$ -компонента силы на границе слоя равна нулю, то

$$\frac{2\pi\sigma_{\text{lim}}}{H_0} = \frac{v_{\text{lim}}^*}{c}, \quad (13)$$

где  $\sigma_{\text{lim}}$  и  $v_{\text{lim}}^*$  — поверхностная плотность заряда слоя и скорость частиц на его границе в предельном случае.

В докритической зоне, как показали численные расчеты (рис. 5), справедлива приближенная формула

$$\frac{v_{\text{lim}}^*}{c} \approx \frac{\beta}{\beta_c}, \quad (14)$$

а в закритической зоне, как видно из (10),  $v_{\text{lim}}^* = c$ , что еще раз свидетельствует о недостижимости предельного состояния в этой зоне. Таким

образом, для предельной поверхностной плотности слоя имеем

$$\sigma_{\text{lim}} = \frac{H_0}{2\pi} \begin{cases} \beta/\beta_c, & \beta \leq \beta_c, \\ 1, & \beta > \beta_c. \end{cases} \quad (15)$$

Если электроны-осцилляторы имеют наряду с вращательной также и поступательную скорость  $c\beta_z$ , то эффекты кулоновского расталкивания и диамагнетизма отчасти компенсируются притяжением параллельных продольных токов. Это явление легко может быть описано соотношениями, аналогичными полученным выше, путем перехода в сопутствующую систему координат. Так, выражение для плотности слоя получается из (15) в результате следующей замены:

$$H_0 \rightarrow \frac{H_0}{\sqrt{1 - \beta_z^2}}, \quad \beta_c \rightarrow \beta_c \sqrt{1 - \beta_z^2}.$$

Сходным образом задача о стационарных двухпоточных состояниях в скрещенных электрическом  $E_0$  и магнитном  $H_0$  полях сводится к рассмотренной выше задаче путем перехода в сопутствующую центрам дрейфа электронов систему координат, движущуюся со скоростью  $\beta_{\text{др}} = E_0/H_0$ . В этом случае в (15) следует произвести замену

$$\beta_c \rightarrow \beta_c \sqrt{1 - \beta_{\text{др}}^2}.$$

Авторы благодарны В.Е.Белову и В.Е.Нечаеву за полезные обсуждения результатов работы.

#### ПРИЛОЖЕНИЕ

Если предположить, что поле в плоскости симметрии  $H_s = 0$ , то из второго и третьего уравнений этой системы (5) следует

$$c^2 t \frac{dp_y}{dt} = y \frac{d\mathcal{E}}{dt}$$

или

$$\frac{d(\mathcal{E}v_y t)}{dt} = \mathcal{E}v_y + y \frac{d\mathcal{E}}{dt}.$$

Из этого соотношения получаем интеграл  $v_y t = y$ , которому при начальном условии  $y(0) = 0$  удовлетворяет единственное решение  $y(t) = 0$ . Но тогда  $y^* = 0$  и, как следует из (4),  $H_s = H_0$ , что противоречит первоначальному предположению. Итак, не существует решения системы (5), при котором полное магнитное поле в плоскости симметрии обращалось бы в нуль.

#### Список литературы

- [1] Вайнштейн Л.А., Солнцев В.А. Лекции по сверхвысокочастотной электронике. М.: Сов. радио, 1973.
- [2] Горшкова М.А., Нечаев В.Е. // Изв. вузов. Радиофизика. 1986. № 7. С. 833-837.

Институт прикладной физики  
Нижний Новгород

Поступило в Редакцию  
18 декабря 1991 г.